

GFRPの超音波振動切削

池田慎一・中津正志・田頭孝介***

Ultrasonic Vibration Cutting of GFRP

Shin-ichi IKEDA, Masashi NAKATSU and Kohsuke TAGASHIRA

Abstract

The effect of angle between cutting direction and unidirectional glass fiber on the roughness of cutting surface of GFRP by ultrasonic vibration cutting has been studied. The ultrasonic vibration of 19.5kHz in frequency and 15 μ m in amplitude are applied to the tip of cutting tool (the Tungsten Carbide K-10) at an angle of 4deg to the cutting direction. The results obtained are as follows: (1) For a fiber angle of 30-60deg, the surface roughness by vibrated cutting is worse than by conventional cutting. The increase in the roughness by ultrasonic vibration cutting depends on the depth of tear due to the separation between fiber and matrix resin. (2) The roughness is improved for a fiber angle of 90-150deg. It should be influenced the decrease in surface roughness of matrix resin by vibration cutting. (3) The brittle fracture mode of a glass fiber has an effect on the roughness. (4) Increasing cutting speed, feed and depth of cut, the surface roughness increases. (5) For a fiber angle of 60 deg, the chip-breaker reduce the roughness.

Key Words : Ultrasonic Vibration Cutting, GFRP, E-glass, Unsaturated polyester resin, Fiber angle, Glass fiber, Surface roughness

1. 緒 言

FRP（繊維強化プラスチック）は従来の金属に比べ、比強度、比弾性率、耐疲労性、耐摩耗性、耐食性、振動減衰性などが高いといった数多くの特性を有する。その製品は、宇宙航空機用をはじめ車両、船舶等、建築用部材からスポーツ、レジャー用品に至るまで多くの分野で実用化が進んでいる。また、その特性の一つとして成形の容易性があげられ、成形品をそのまま部品として使用することが多いが、機械部品として使用する場合に関しては切断、穴あけ、旋削、フライス加工等の機械加工が必要となる。しかし、FRPの加工性は極めて悪く、これらの切削加工を行う場合、金属切削とは異なり、急速な工具寿命の低下、繊維とマトリックスの剥離等による加工表面品位の劣化、クラック等による欠陥層の発生等が問題と

なっている。FRPの機械加工に関しては、工具摩耗を中心として、加工表面生成機構、巨視的な切削機構の解析などが研究されており^{1)~3)}、最近ではFEMによるFRP切削のシミュレーションも行われている⁴⁾。それらの研究の中には、二次元切削におけるFRPの切削機構を切削方向と繊維のなす角度の変化とともに繊維の破壊形態などによって解析している場合が多い。しかし、実際のFRP加工では、繊維角度に応じた切削方向を選ぶことは不可能であるため、あらゆる繊維角度に対し安定した切削面を得ることは難しい。

そこで、本研究では、これらの問題を解決するための基礎研究としてGFRPの切削加工に精密加工の一つである超音波振動切削を適用し、その効果を調べた。

2. 実験方法

被削材はガラス繊維(E-ガラス)で強化された不飽和ポリエステル樹脂の連続引抜成型材(板厚5mmの一向向性GFRP型材)で、そのガラス

* 助手 機械工学科

** 助教授 機械工学科

*** 教授 室蘭工業大学

Table 1 Mechanical properties of GFRP

Fiber material	E-glass
Matrix material	Unsaturated polyester resin
Fiber content	wt%
Diameter of fiber	μm
Tensile strength	MPa
Tensile modulus	GPa
Bending strength	MPa
Compressive strength	MPa
Shearing strength	MPa

含有量は50wt%である。Table 1にこのGFRP型材の特性値を示す。この型材を切削方向に対する纖維の角度(以下、纖維角とする)が0~150°まで30°おきに切断したものを切削用試料(50×50×5t)とした。

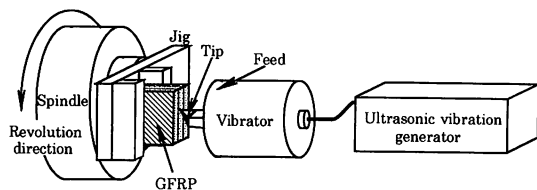


Fig. 1 Schematic drawing of experimental apparatus

Fig. 1に実験装置の概要を示す。切削は3枚の試料を治具で固定し、N C旋盤で断続的に行った。

チップは超硬三角チップ(K-10, ノーズ半径0.2mm)を標準とし、チップブレーカ付きのチップ(チップのすくい角:約12°)も使用した。この標準チップを専用ホルダーに取付けた時、切削工具としてのすくい角は約2.5°となる。

Table 2 Cutting conditions

Cutting speed	rpm m/s	60, 120, 180, 240 0.4, 0.8, 1.2, 1.6
Feed	mm/rev	0.1
Depth of cut	mm	0.1, 0.5, 1.0, 1.5
Cutting fluid		Dry
Tool material		K-10(WC)
Rake angle of tool	deg.	-10, -5, 0
Fiber angle of work	deg.	0, 30, 45, 60, 90 120, 135, 150

Table 2に切削条件を示す。前加工は振動切削を適用したため、主軸の回転数は装置の推奨切削速度以下の60rpm(切削速度v=0.4m/s)とし、送り0.1mm/rev、切込み0.5及び0.3mmで行った。

Fig. 2に振動切削の概要を示すが、出力120W、周波数f=19.5kHz、振幅a=15μmでチップの先端を切削方向に対し4°傾けた方向に振動させた。このときの切削速度v=0.4m/sは振動切削の効

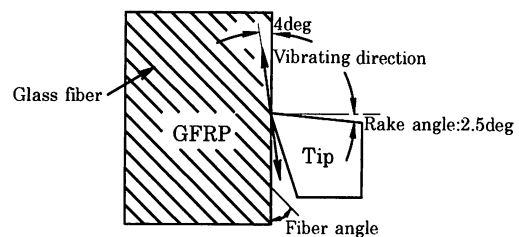


Fig. 2 Schematic drawing of ultrasonic vibration cutting system

果が得られる臨界切削速度1.8m/min以下($v < 2\pi af$)を満足している。

以上の条件で纖維角0~150°のGFRP試料の超音波振動切削及び通常切削を行った。切削面の表面粗さ(JIS B 0601最大高さRy)は触針式の万能表面形状器で測定し、切削表面の観察は走査型電子顕微鏡で行った。

3. 実験結果及び考察

3. 1 表面粗さ(Ry)に及ぼす纖維角度の影響、および超音波振動による効果

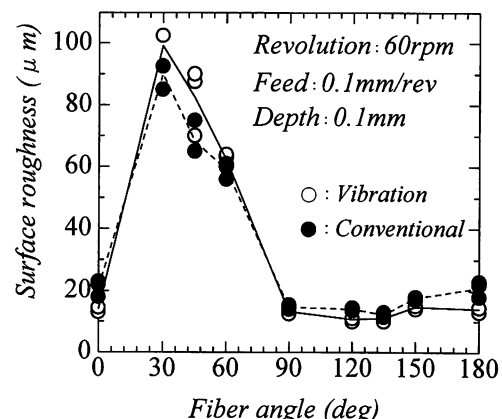


Fig. 3 Relation between surface roughness and fiber angle

Fig. 3はGFRPの超音波振動切削及び通常切削を行ったときの纖維角と切削面の表面粗さの関係を示す。振動の有無によらず、表面粗さは纖維角30~60°では大きく、逆に纖維角90~150°では小さい。これは纖維角30~60°の場合、まず、切削工具の先端で纖維が起こされる。次に、切削工具の進行により纖維が曲げを受け、纖維とマトリックス樹脂の結合力の弱いところなどから纖維と樹

Cutting direction →

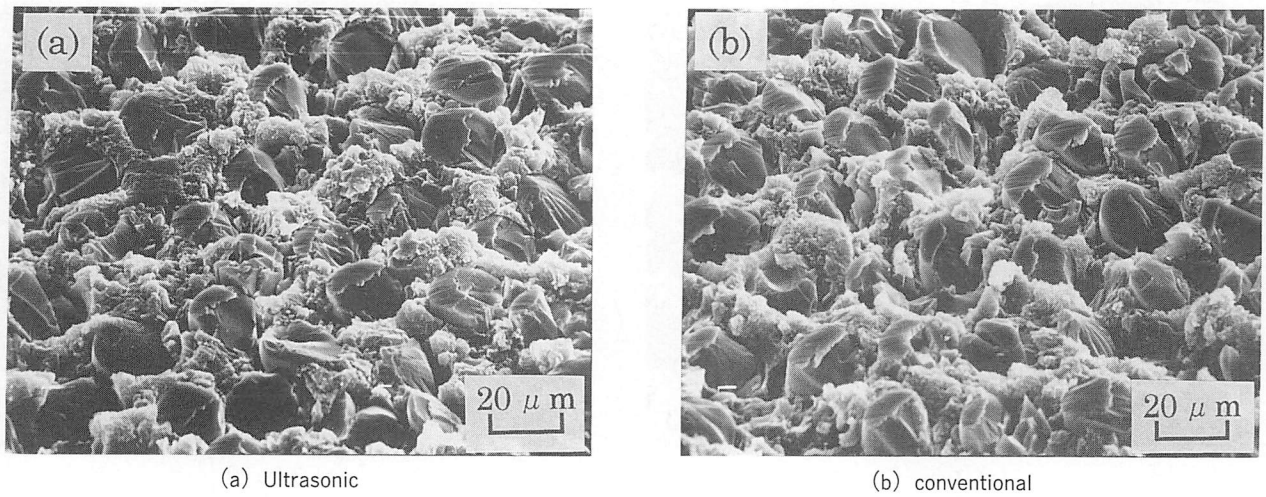


Photo. 1 SEM photographs of cutting surface(fiber angle : 90deg)

脂の剥離が起きる。そして、剥離が起きることにより切削面はむしり取られ、切削面粗さが悪化したものと思われる。纖維角90~150°場合の切削面粗さが比較的小さいのは、纖維と樹脂の剥離が起こらないためであろう。また、纖維角0°の場合は纖維が樹脂からむしり取られることが多いが、纖維角30~60°のように切削面内部に剥離が進行せず、切削面粗さは最大でも纖維径の20μm程度となる。

ところで、纖維角が30~60°では通常切削に比べ振動切削の方が約10%表面粗さは大きい。これは上記のような剥離現象が起こった場合、振動の有無により剥離の進行過程が異なるものと考えられる。切削速度が一定の通常切削は起こされた纖維

に対し、連続した力を作用させ剥離を進行させる。一方、切削速度が周期的に変化する振動切削は起こされた纖維に対し、断続的な力を作用させるため、纖維と樹脂の剥離が徐々に進行する。このとき振動切削による衝撃力は纖維が樹脂に固定されていないため、纖維を破壊するまでには至らない。以上のように考えると、纖維角30~60°の切削面粗さは振動切削により纖維と樹脂の剥離が促進し、さらに悪化したと説明できる。

また、纖維角90~150°のときは通常切削に比べ振動切削の方が約15%表面粗さが小さい。振動切削による切削面粗さの減少は以前に報告⁵⁾されていたが、具体的な要因は記述されていなかった。Photo. 1 に纖維角90°の振動切削及び通常切削に

Cutting direction →

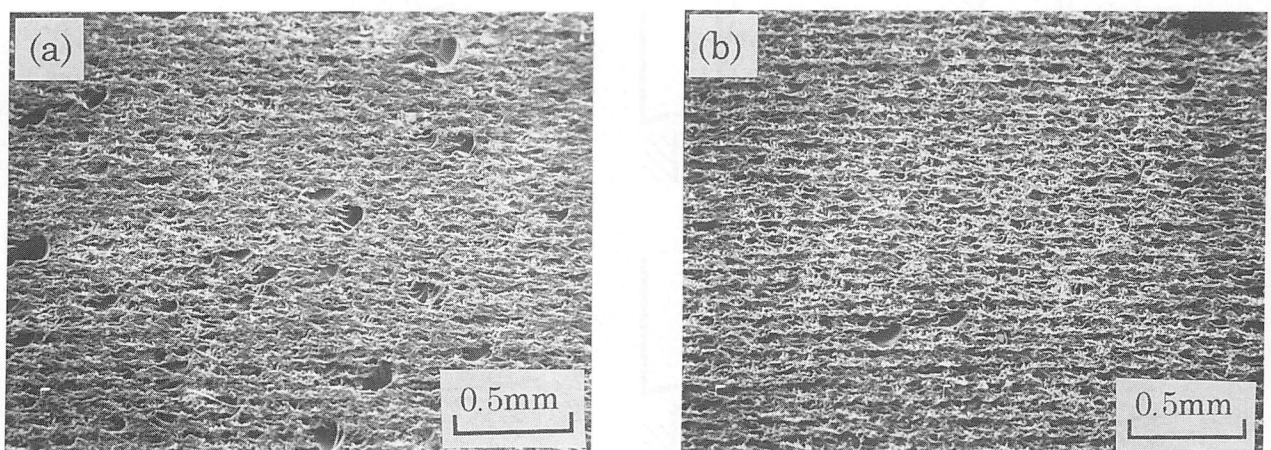
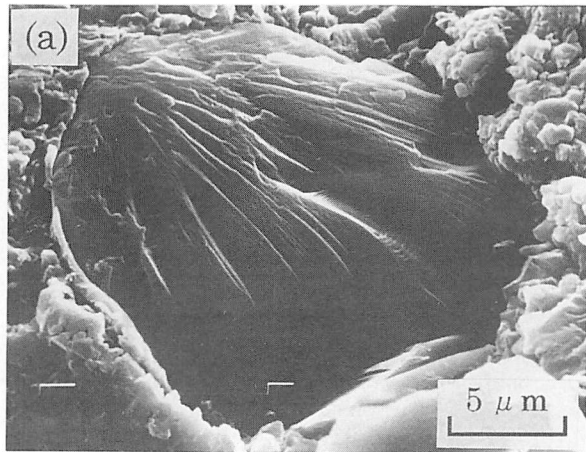
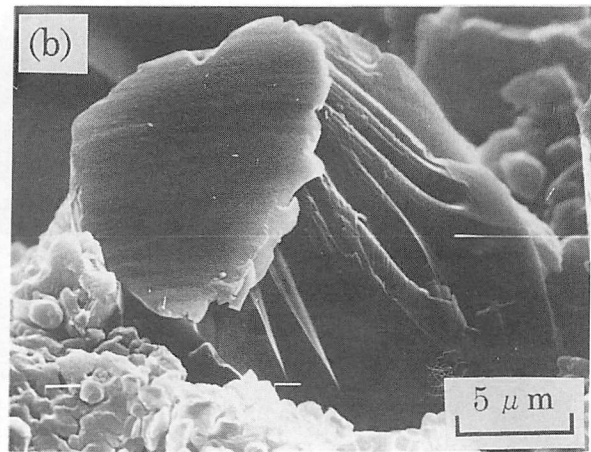


Photo. 2 SEM photographs of cutting surface(matrix resin)

Cutting direction →



(a) Type I



(b) Type II

Photo. 3 SEM photographs of brittle fracture surface of a glass fiber

より切削面のSEM像を示すが、振動の有無による大きな違いは観察されなかった。そこで、纖維の周りの樹脂の状態に着目し、纖維を含まないマトリックス樹脂の振動切削および通常切削を行った。Photo. 2にマトリックス樹脂切削面のSEM像を示す。樹脂の切削においては、通常切削に比べ振動切削の方が切削面に貝殻状のむしれが多く観察される。しかし、むしれを除く切削面は滑らかで表面粗さ(振動切削: 3.2μm, 通常切削: 4.2μm)も小さい。通常、マトリックスの不飽和ポリエステル樹脂を切削した場合、切削工具刃先より発生したクラックにより切屑がむしり取られる亀裂型となる⁶⁾ため、切削面粗さに悪影響を与える。しかし、この亀裂型切屑は切削速度の増加により小さくなる⁷⁾ことから振動切削のような衝撃力を

伴う切削方法の適用により、微細な亀裂が発生し切屑が小さくなり、切削面粗さが減少したものと思われる。また、Photo. 2に示されるようなむしれはどのGFRP試料の切削面においても観察されていない。つまり、纖維角90°の範囲における振動切削による切削面粗さの減少は、マトリックス樹脂そのものの粗さが減少したことによく影響されている。

3. 2 切削面における纖維破断面の生成過程

Photo. 3に纖維角90°の試料を振動切削したときの切削面における2種類の纖維破断面を示す。Photo. 3(a)は纖維破断面の先端に脆性破壊の起点があり、この起点から切削方向に放射状の模様が観察された。同様に(b)は纖維先端に切削方向

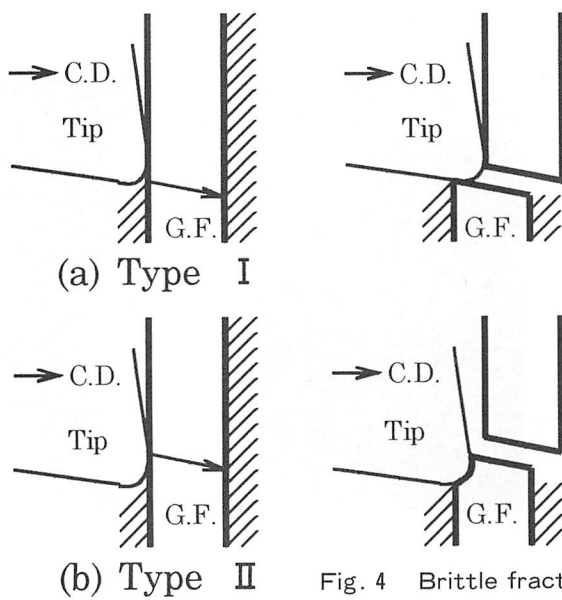
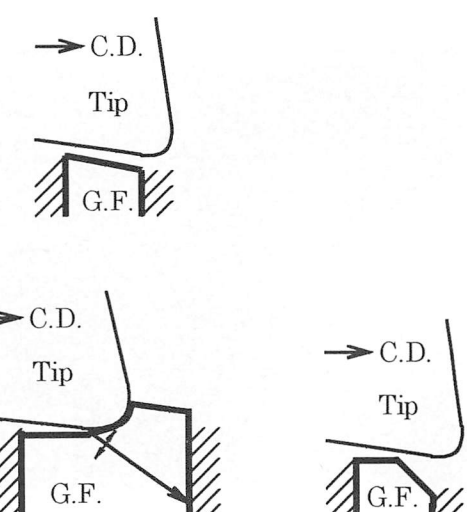


Fig. 4 Brittle fracture type of a glass fiber



に対し平行で平らな部分があり、纖維断面途中から斜め下方に模様が観察された。(a), (b)の纖維破断面より観察された模様はハックルマークと呼ばれ、クラックの進行方向や進行速度などを示す⁸⁾。

Fig. 4 に Photo. 3 (a), (b) の纖維破断面の生成過程を模式的に検討した結果を示す。Fig. 4 (a) は切削工具の進行に伴い切削工具位置より下方の纖維側面に存在する欠陥などを破壊の起点とし、クラックが発生し、切削工具による力の作用する方向へ進行し脆性破壊が起った纖維破断面である。このとき纖維先端の破面にはハックルマークが明確に存在する。次に、Fig. 4 (b) は切削工具先端と纖維側面の接触点を破壊の起点とし、その起点からクラックが進行し (a) のような脆性破壊が起こる。さらに、この纖維破断面は工具先端丸み部分の下部により圧縮され塑性変形を受け、纖維断面に平らな面を形成する⁹⁾。そして、平らな面の形成途中、切削工具丸みの下部による圧縮力は纖維を引張りで破壊させる力となり下方へ破壊が進行する。

纖維角 90° の切削面に Fig. 4 (a) と (b) の纖維破断面は存在するが、実際は Photo. 1 に示すように、ほとんどの纖維が (b) の破壊形式である。しかし、振動の有無により纖維破断面の形状が多少異なる。通常切削では纖維先端の平らな部分の形状が比較的同一であるが、振動切削ではその形状は同一ではない。これは工具先端による臨界速度の衝撃力がガラス纖維側面に必ず作用しているとは限らないためであり、纖維によっては通常切削程度、あるいはそれ以下の衝撃力しか作用していない場合も存在する。しかし、振動切削による臨界速度の衝撃力が纖維に作用した場合は、切削工具

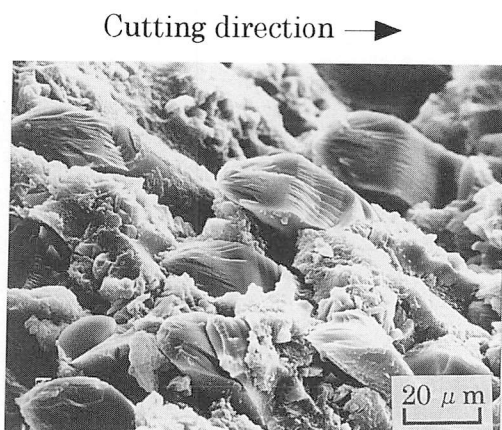


Photo. 4 SEM photograph of ultrasonic vibration cutting surface(fiber angle : 45deg)

先端の丸みにより平らな部分が形成された後、切削方向成分の力が通常切削に比べ大きいために引張りによるクラックの進行方向は切削方向に傾くものと思われる。このように切削面粗さに大きな影響を与える纖維の破壊形式は振動切削、通常切削共に (b) の破壊形式の脆性破壊であるが、切削面粗さの悪化を抑制する方法としては振動切削が効果的であると思われる。

Photo. 4 に纖維角が 45° の試料を振動切削したときの剥離開始付近における纖維破断面の SEM 像を示す。この纖維破断面の形状は Photo. 3 に比べ複雑な形状であるが、最初に工具が接触する纖維の先端は Photo. 3 (a) の破壊の起点が観察された。この起点から進行したハックルマークは纖維中心付近で消滅し、再度ハックルマークは現れ軸方向に進行した後、纖維は破壊した。最初の切削方向に平行な破面は工具の力の作用する方向に破壊が進行したため、軸方向にハックルマークが進行したのは纖維が切削工具すくい面で曲げを受けていたためであると思われる。

3. 3 表面粗さに及ぼす切削速度の影響

Fig. 5 に纖維角 30° の試料の振動切削および通常切削したときの切削速度と切削面の表面粗さの関係を示す。振動の有無に関係なく、切削速度の増加に伴い切削面粗さは増加した。また、通常切削に比べ振動切削の方が切削速度の増加に伴う切削面粗さの増加率は大きい。纖維角 30° の試料における切削速度の増加は纖維を起こす力を増大させ、纖維と樹脂の剥離を促進させる。その結果、切削面に発生するむしれにより切削面粗さが増加するものと思われる。さらに、振動切削は剥離現

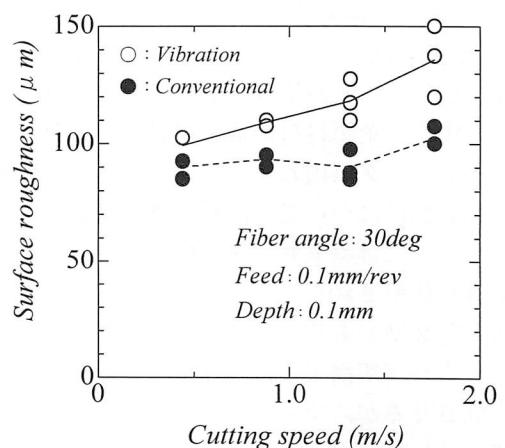


Fig. 5 Relation between surface roughness and cutting speed

象を促進させる効果があるため、切削速度の増加による切削面粗さの増加の割合が大きくなつたものと思われる。

3.4 表面粗さに及ぼす切込みの影響

Fig. 6 に纖維角90°の試料の振動切削および通常切削したときの切込みと切削面粗さの関係を示す。振動の有無に関係なく、切込みの増加に伴い切削面粗さは増加した。その増加率は通常切削の方が大きい。これはマトリックス樹脂を切削したときの切屑が亀裂型であるため、切込みの増加により樹脂のみが切削予定面よりも下方にむしり取られることに起因すると思われる。しかし、振動切削の場合はむしれ現象を抑制する作用があるために、切込みの増加に伴う切削面粗さの増加率が通常切削よりも小さくなつたものと思われる。

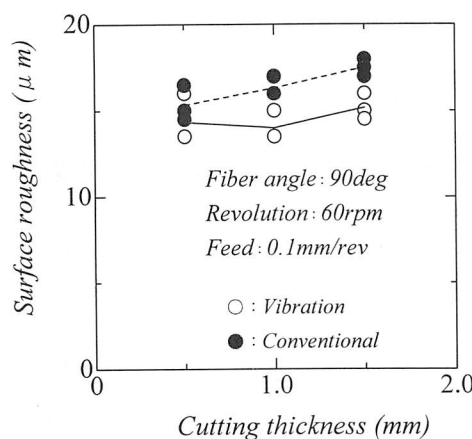


Fig. 6 Relation between surface roughness and cutting thickness

3.5 切削面に及ぼす送りの影響

Photo. 5 に纖維角90°の試料を送りを0.3mm/revで振動切削したときの切削表面のSEM像を示す。通常、送りが切削工具のノーズ半径よりも大きい場合、金属材料の切削では切削工具によるフィードマーク（山および谷）が明確に現れる。GFRP試料についても同様であるが、フィードマークの山にはマトリックス樹脂を伴わないガラス纖維が観察された。これも樹脂を切削したとき切屑が亀裂型であることが影響していると思われる。つまり、切削工具によりガラス纖維は断続的に切削されるが、マトリックス樹脂は連続的に切削される。そのため、切削工具の進行により、フィードマークの山を形成するマトリックス樹脂には亀裂が伝播し、むしり取られるが、ガラス纖

Cutting direction →

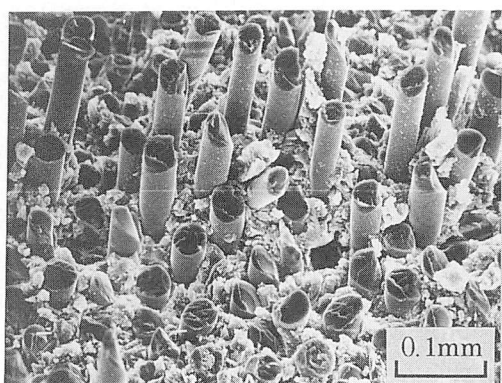


Photo. 5 SEM photograph of ultrasonic vibration cutting surface (fiber angle: 90deg)

維には伝播せずに、ガラス纖維のみが残存したものと思われる。

3.6 表面粗さに及ぼすチップブレーカの効果

Fig. 7 はGFRP試料の振動切削を行ったとき、チップブレーカ（すくい角：約12°）の有無による纖維角と切削面粗さの関係を示す。切削面粗さはチップブレーカにより、纖維角30°では25%増加し、45°で10%減少、60°では50%減少した。また、纖維角90～150°では約30%増加した。纖維角30°の場合は振動切削によって増加した切削面粗さがさらに増加した。これはチップブレーカにより切削工具のすくい角が大きくなつたため、切削工具先端がくい込むことによるくさび作用が大きく作用し、纖維と樹脂の剥離を促進させたために切削面粗さが増加したものと思われる。また、纖維角60°においてはチップブレーカにより切削面に対する

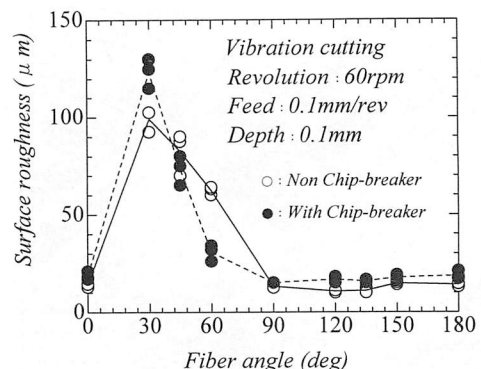


Fig. 7 Effect of chip-breaker on surface roughness by ultrasonic vibration cutting

切削工具のすくい角が 18.5° (チップの傾き: 2.5° + 振動の方向: 4° + チップブレーカの傾き: 12°) となり、纖維に与える曲げの影響が緩和されたため切削面粗さが減少したものと思われる。纖維角 $90 \sim 150^{\circ}$ においては切削工具先端によるくさび作用で纖維の周りのマトリックス樹脂がむしり取られたために切削面粗さが増加したものと思われる。

通常切削の場合も同様の結果が得られたが、纖維角 60° におけるチップブレーカによる切削表面粗さの減少量は振動切削の場合よりも小さく、纖維角 $30, 45^{\circ}$ においては振動切削の場合よりもチップブレーカにより切削面粗さは増大した。

4. 結 言

- 1) 纖維角 $30 \sim 60^{\circ}$ の G F R P 切削では超音波振動切削により切削面粗さが悪化した。これは振動切削により剥離現象が促進したことに起因する。
- 2) 纖維角 $90 \sim 150^{\circ}$ の G F R P 切削では超音波振動切削により切削面粗さが向上した。これはマトリックス樹脂そのものの粗さの向上が影響している。
- 3) 纖維角 90° の試料の纖維破断面より超音波振動切削は切削面粗さの向上に効果的である。
- 4) 切削速度、切込み、送りの増加により切削面粗さは悪化した。しかし、超音波振動切削を適用

することにより切削面粗さの悪化は緩和された。

- 5) すくい角 12° のチップにより纖維角 60° の試料の切削面粗さが大幅に向上した。

謝 辞

本研究を遂行するに当たり、試料を提供して頂いた興和工業株式会社の関係各位に厚くお礼申し上げます。また、本研究を遂行するに当たり終始御協力を頂いた室蘭工業大学技官の山森英明氏、研究生の三浦健一氏、大学院生の長谷地明博氏に心から感謝の意を表します。

参 考 文 献

- 1) 佐久間敬三他：日本機械学会論文集 44巻 381号 P.1752
- 2) 王曉渡他：精密工学会誌, vol.55, No.4, 709
- 3) 金枝敏明他：精密工学会誌, vol.55, No.8, 1456
- 4) 帯川利之他：精密工学会誌, vol.57, No.6, 1029
- 5) 飯島昇他：S61精密工学会秋季大会学術講演論文集 P.599
- 6) 橋本宇一他：非金属材料の精密加工法(上), 他人書館 P.16
- 7) 井上久弘他：精密機械, 39巻, 3号 P.41
- 8) 橋本宇一他：非金属材料の特殊加工法, 他人書館 P.4
- 9) 中島利勝他：精密工学会誌, vol.57, No.7, 1253

(平成 7 年 11 月 29 日受理)

